

Aula 15

Subsidência de Bacias



Plano da Aula

Introdução

Bacias oceânicas

- Compensação isostática, contração térmica, topografia.
- Mudanças no nível do mar.

Bacias sedimentares:

- Subsidência térmica
- Subsidência termo-mecânica.

Introdução

De acordo com a termodinâmica o estado de um corpo é dado pelas **variáveis de estado**.

No caso do interior da Terra escolhemos como variáveis de estado

- Pressão (P)
- Temperatura (T)

Qualquer outra variável é expressa em função de P e T.

Relações termodinâmicas

Assim, dada uma dependência geral do volume específico ($v=1/\rho$) com P e T :

$$dv = (\partial v / \partial T)_p dT + (\partial v / \partial p)_T dp$$

A compressibilidade isotérmica β é

$$\beta = (-1/v) (\partial v / \partial p)_T$$

e o coeficiente de expansão térmica é

$$\alpha_v = (1/v) (\partial v / \partial T)_p$$

pelo que

$$dv = -v\beta dP + v\alpha_v dT$$

Bacias oceânicas

Vimos que a geoterma da litosfera oceânica (usando esfriamento instantâneo para um semiespaço) é dada por

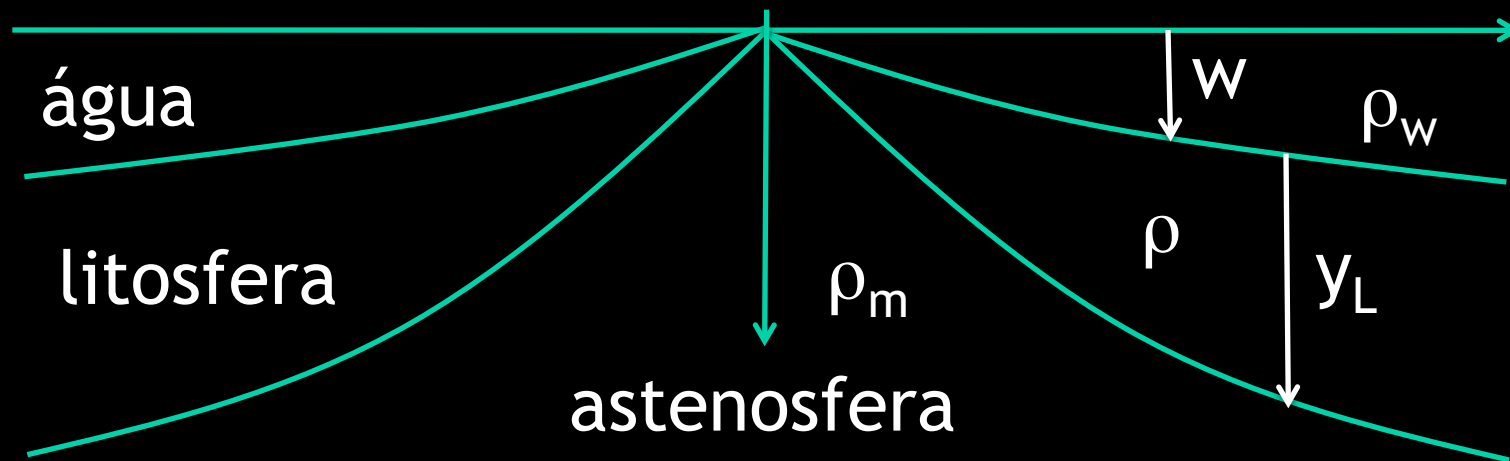
$$(T_1 - T) / (T_1 - T_0) = \operatorname{erfc} [y / 2(\kappa x / u)^{1/2}]$$

Mas não levamos em conta o efeito isostático devido ao incremento da densidade durante o esfriamento.

Vamos calcular agora a topografia do assoalho oceânico.

Isostasia da litosfera

A pressão litostática na profundidade de compensação é dada por



$$\int_0^{y_L} \rho \, dy + w \rho_w = \rho_m (w + y_L)$$

Contração térmica

A contração térmica devida ao esfriamento é dada por (P=ct)

$$dv = v\alpha_v dT \leftrightarrow d\rho = -\rho\alpha_v \Delta T$$

pelo que

$$\rho - \rho_m = \rho_m \alpha_v (T_1 - T)$$

Substituindo a equação para a geoterma oceânica

$$(\rho - \rho_m) = \rho_m \alpha_v (T_1 - T_0) \times \operatorname{erfc} [(y/2)(u_0/\kappa x)^{1/2}]$$

Topografia de assoalho oceânico

Substituindo o efeito da compressão na equação de compensação isostática

$$w (\rho_m - \rho_w) = \rho_m \alpha_v (T_1 - T_0) \times \int_0^{y_L} \text{erfc} [(y/2)(u_0/\kappa x)^{1/2}] dy$$

A integral pode ser avaliada fazendo a mudança de variáveis $\eta = (y/2)(u_0/\kappa x)^{1/2}$

$$w = \frac{2\rho_m \alpha_v (T_1 - T_0)}{(\rho_m - \rho_w)} \left[\frac{\kappa x}{\pi u_0} \right]^{1/2}$$

Topografia de assoalho oceânico

Substituindo o efeito da compressão na equação de compensação isostática

$$w (\rho_m - \rho_w) = \rho_m \alpha_v (T_1 - T_0) x \int_0^{y_L} \text{erfc} \left[(y/2)(u_0/\kappa x)^{1/2} \right] dy$$

$\nearrow^\infty (\rho \rightarrow \rho_m, T \rightarrow T_1 \text{ para } y \rightarrow y_L)$

A integral pode ser avaliada fazendo a mudança de variáveis $\eta = (y/2)(u_0/\kappa x)^{1/2}$

$$w = \frac{2\rho_m \alpha_v (T_1 - T_0)}{(\rho_m - \rho_w)} \left[\frac{\kappa x}{\pi u_0} \right]^{1/2}$$

Topografia de assoalho oceânico

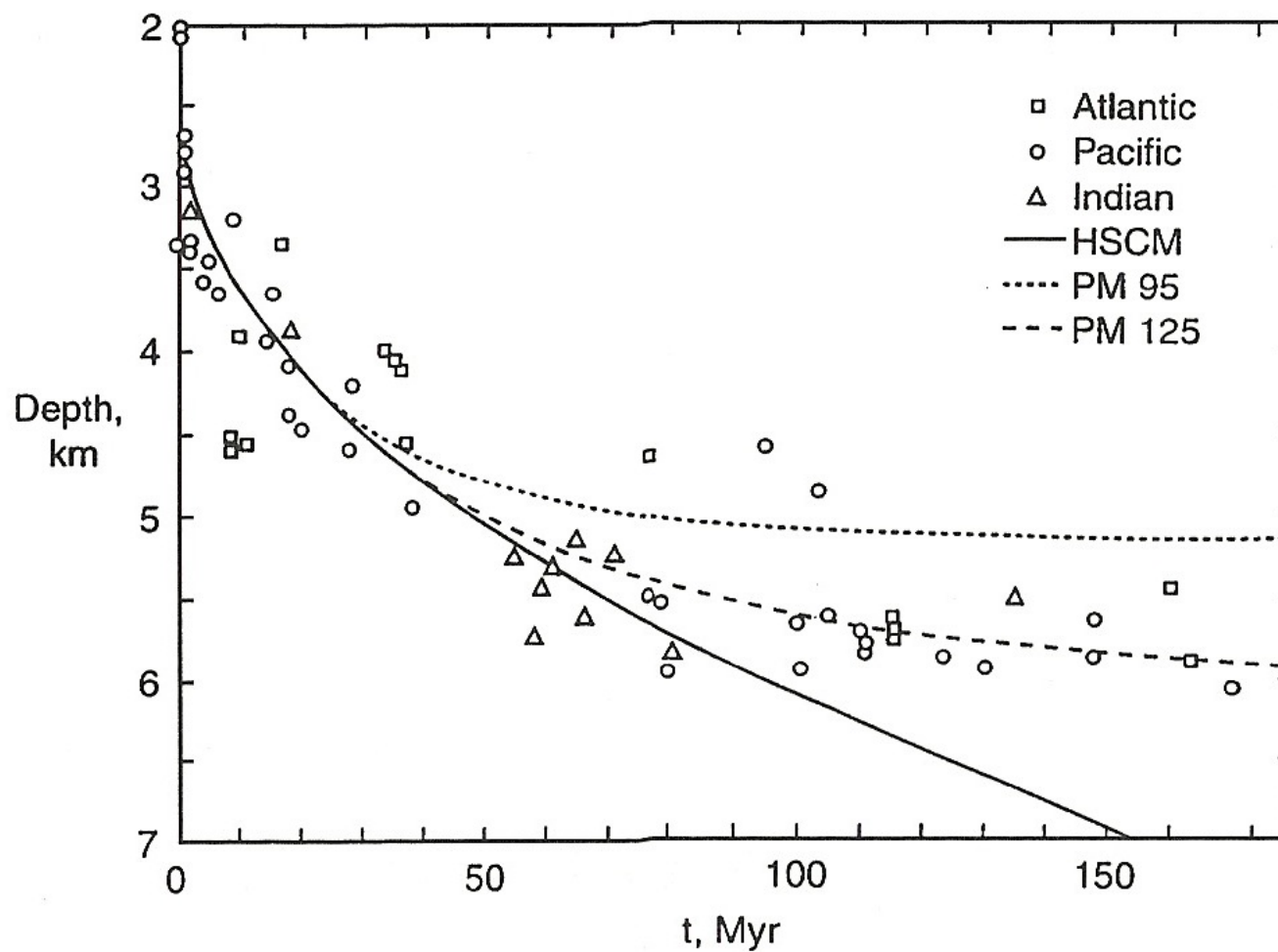
Para o modelo de placa,

$$w = \frac{\rho_m \alpha_v (T_1 - T_0)}{(\rho_m - \rho_w)} \left[\frac{1}{2} - \frac{4}{\pi^2} \sum_{m=0}^{\infty} \frac{1}{(1+2m)^2} \exp \left(\frac{\kappa (1+2m)^2 \pi^2 t}{y_{LO}^2} \right) \right]$$

que pode ser aproximada como

$$w = \frac{\rho_m \alpha_v (T_1 - T_0) y_{LO}}{(\rho_m - \rho_w)} \left[\frac{1}{2} - \frac{4}{\pi^2} \exp \left(\frac{-\kappa \pi^2 t}{y_{LO}^2} \right) \right]$$

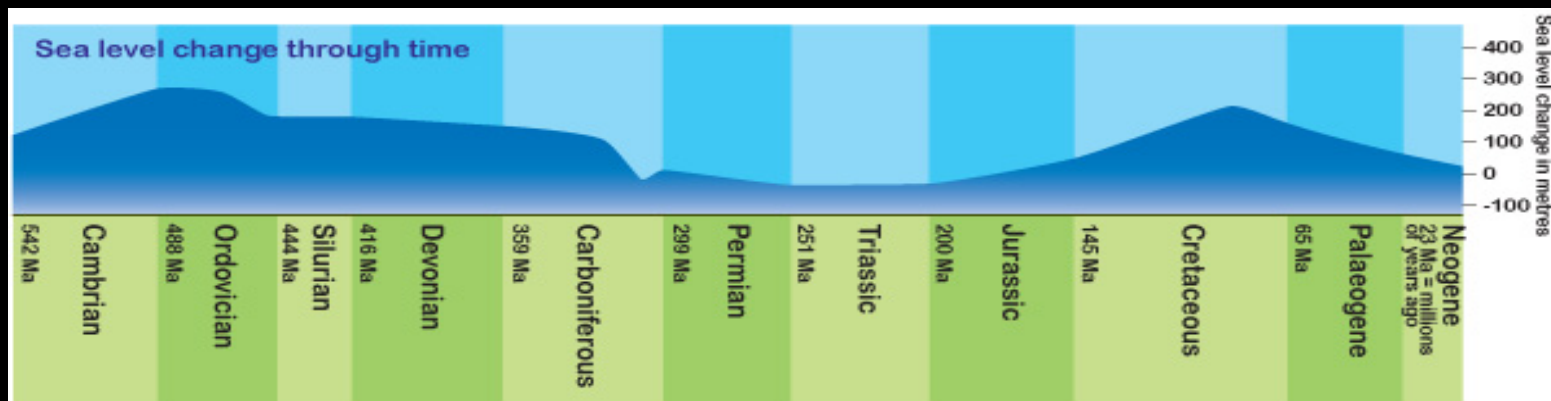
Topografia de assoalho oceânico



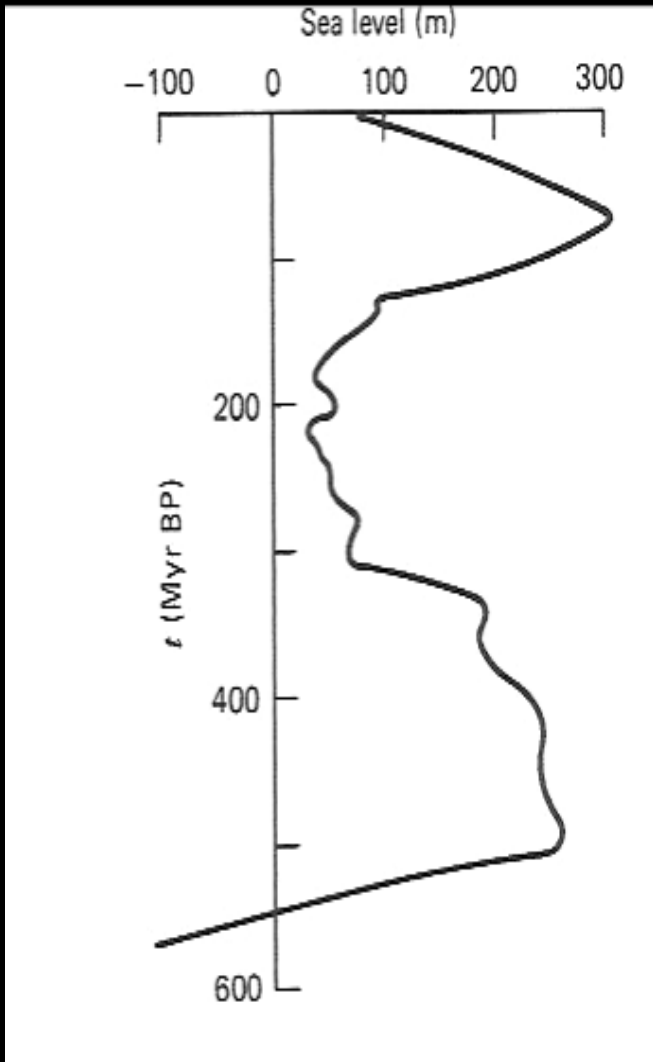
Mudanças no nível do mar

As mudanças no nível do mar estão bem documentadas

- Em pequena escala (10^4 - 10^5 anos) são explicadas pelas idades de gelo
- Em escalas maiores (10^7 - 10^8 anos) são atribuídas mudanças na profundidade média do assoalho oceânico.



Mudanças no nível do mar



Se o gelo dos polos derretesse, o nível do mar seria 80 m a mais ($t=0$)

Mas o nível no passado foi bem maior:

- Havia mais dorsais do que hoje.
- As dorsais tinham taxas de expansão maiores.

Profundidade média do assoalho

A profundidade média é definida como

$$\underline{w} = (1/\tau) \int_0^{\tau} w \, dt$$

onde τ é a idade media das zonas de subducção.

Substituindo a equação da topografia do assoalho oceânico

$$\underline{w} = \frac{4\rho_m\alpha_v(T_1-T_0)}{3(\rho_m-\rho_w)} \left[\frac{\kappa\tau}{\pi} \right]^{1/2}$$

Profundidade média do assoalho

Como a mudança do nível do mar está relacionado com 'w' através de

$$\delta h = -\delta \underline{w}$$

a mudança do nível do mar é

$$\delta h = -\delta \underline{w} = \frac{-4\rho_m\alpha_v(T_1-T_0)}{3(\rho_m-\rho_w)} \left(\frac{\kappa}{\pi} \right)^{1/2} \delta(\tau^{1/2})$$

(Para $\rho_m=3300 \text{ kg/m}^3$, $\alpha_v=3 \cdot 10^{-5} \text{ K}^{-1}$, $\kappa = 1 \text{ mm}^2/\text{s}$,
 $T_1-T_0 = 1300 \text{ K}$, $\rho_w = 1000 \text{ kg/m}^3$, $\tau_{\text{hoje}} = 120.8 \text{ My}$,
 $\delta h = 220\text{m} \Rightarrow t_{\text{cret}}=100 \text{ My}$)

Mudanças no fluxo de calor oceânico

O fluxo médio é dado por

$$\underline{q}_0 = (1/\tau) \int_0^\tau q_0 dt = 2k(T_1 - T_0)/(\pi\kappa\tau)^{1/2}$$

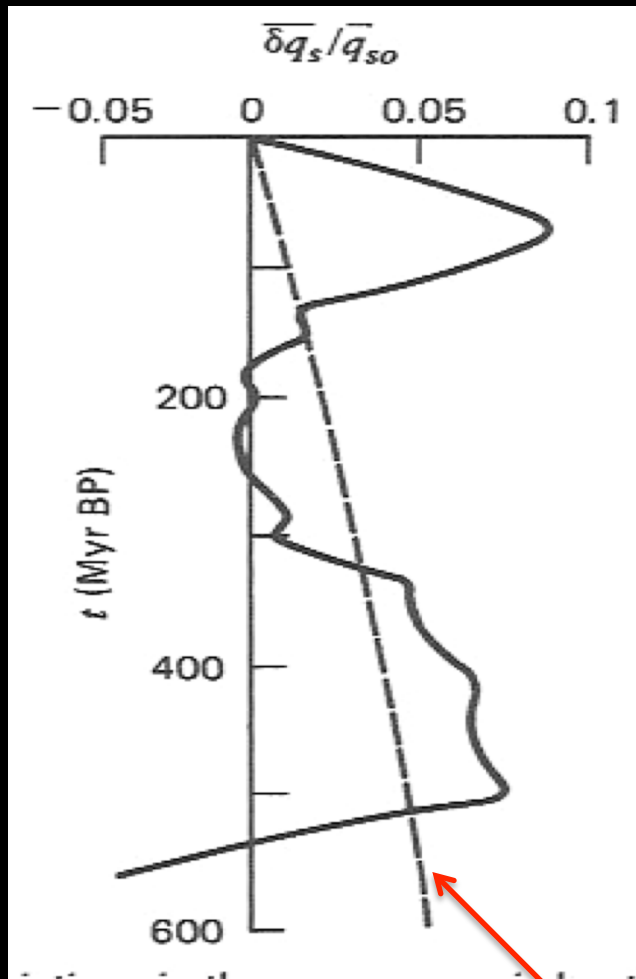
Substituindo a equação anterior

$$\delta(1/\underline{q}_0) = \frac{-3\pi(\rho_m - \rho_w)}{8k\rho_m\alpha_v(T_1 - T_0)^2} \delta h$$

de onde

$$\delta\underline{q}_0/\underline{q}_0 = \frac{3\pi(\rho_m - \rho_w)\underline{q}_0}{8k\rho_m\alpha_v(T_1 - T_0)^2} \delta h$$

Mudanças no fluxo de calor oceânico



- As mudanças fracionárias inferidas são de ~10%.
- As variações não podem ser atribuídas a uma produção maior de calor radiogênico.
- São atribuídas a mudanças da geometria e taxa de expansão das dorsais.

Incremento previsto devido à maior concentração de isótopos

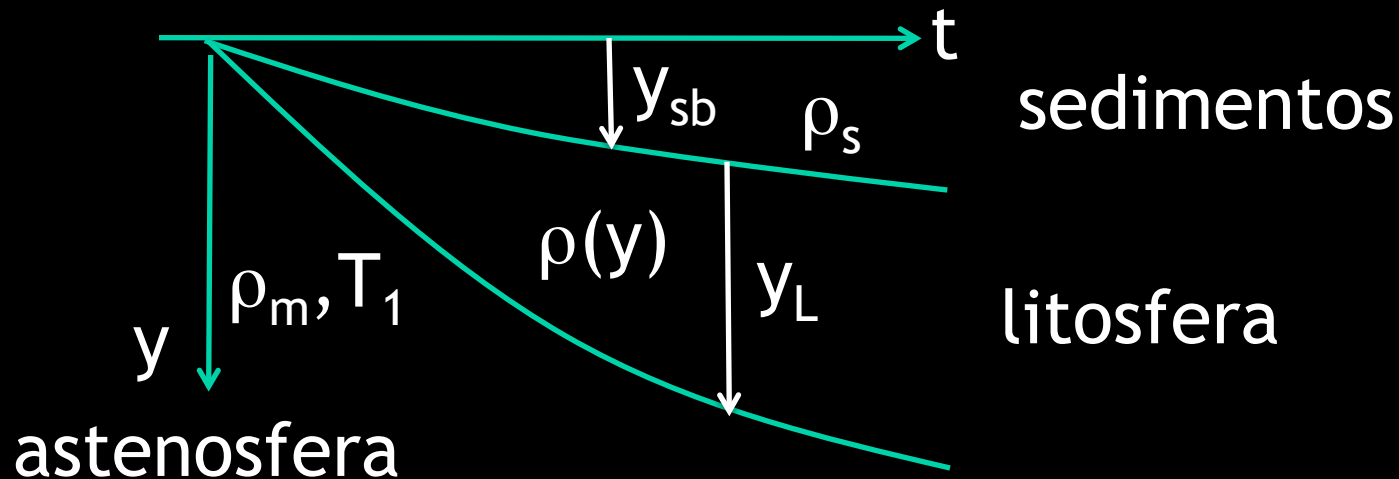
Bacias sedimentares

A subsidência das bacias sedimentares é semelhante à subsidência da litosfera oceânica:

- Uma região da Terra é inicialmente quente devido ao vulcanismo.
- O resfriamento da superfície faz o basamento se resfriar e se contrair.
- Os sedimentos enchem a bacia sedimentar.

Modelo de resfriamento

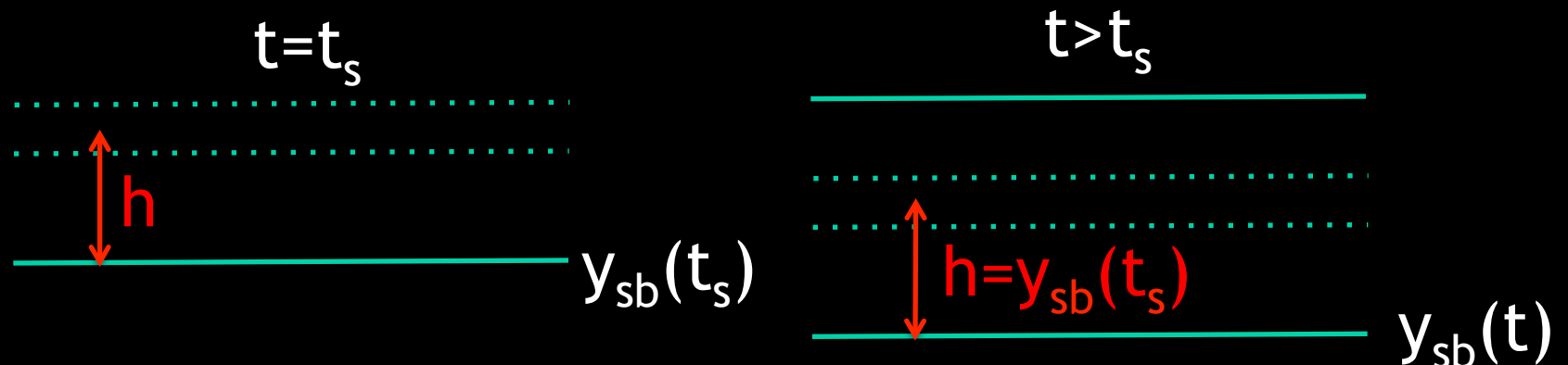
Inicialmente ($t=0$) não há sedimentos e o basamento tem temperatura T_1 e densidade ρ_m .



$$y_{sb} = \frac{2\rho_m\alpha_m(T_1-T_0)}{(\rho_m-\rho_s)} \left(\frac{\kappa_m t}{\pi} \right)^{1/2}$$

Profundidade de uma camada

Vamos considerar uma camada sedimentar depositada em tempo t_s .



A profundidade da camada é dada por

$$y_s = \frac{2\rho_m\alpha_v(T_1-T_0)}{(\rho_m-\rho_{sb})} \left[\frac{\kappa}{\pi} \right]^{1/2} (t^{1/2}-t_s^{1/2})$$

Gradiente térmico dos sedimentos

A camada sedimentar deve transportar o calor liberado pelo basamento

$$q_0 = k_m (T_1 - T_0) / (\pi \kappa_m t)^{1/2}$$

mas, para os sedimentos,

$$q_0 = k_s (dT/dy)_s$$

Combinando as equações

$$\left(\frac{dT}{dy} \right)_s = \frac{k_m (T_1 - T_0)}{k_s (\pi \kappa_m t)^{1/2}}$$

Temperatura da camada

Integrando a equação anterior

$$T_s = T_0 + \frac{k_m (T_1 - T_0)}{k_s (\pi \kappa_m t)^{1/2}} y$$

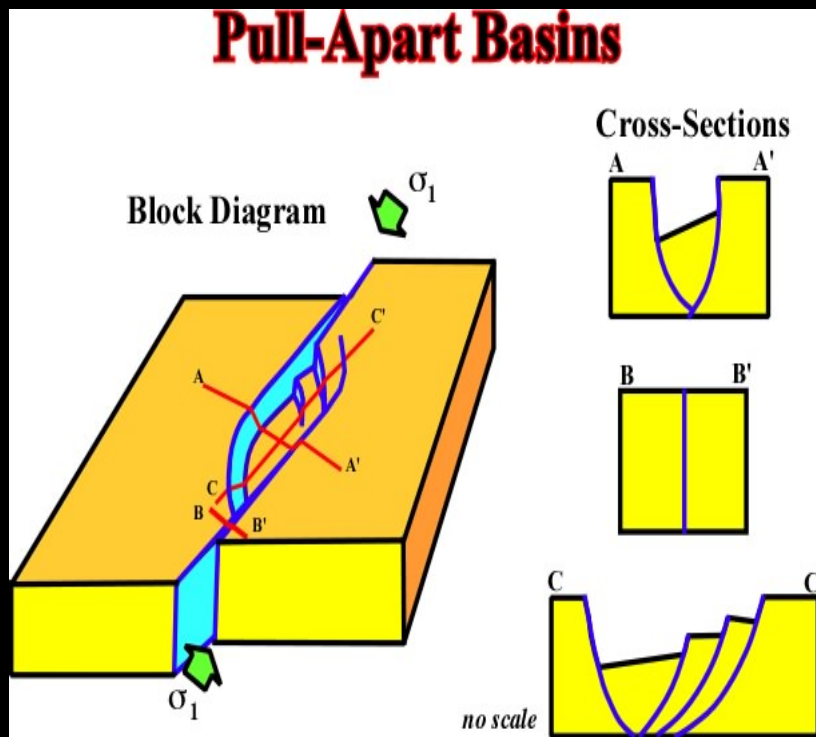
A temperatura da camada depositada em $t=t_s$ é dada por

$$T_{SL} = T_0 + \frac{2 k_m \rho_m \alpha (T_1 - T_0)^2}{\pi k_s (\rho_m - \rho_s)} [1 - (t_s/t)^{1/2}]$$

A evolução térmica é usada para determinar se a camada tem petróleo.

Exemplo: bacia de Los Angeles, CA

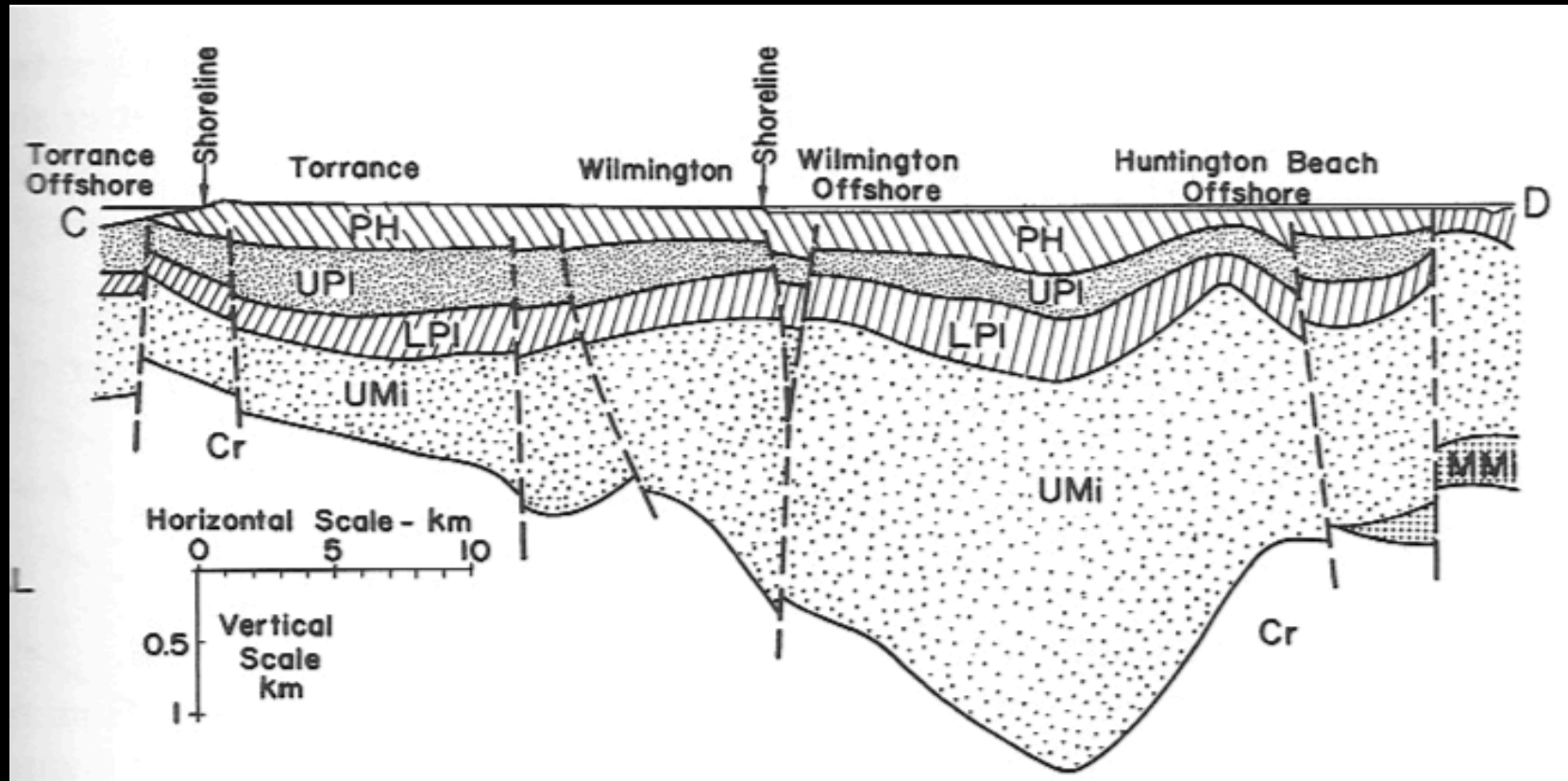
Pequena bacia sedimentar (50 x 75 km) do tipo “pull-apart”, associada à falha de San Andrés.



- Vulcanismo de idade 10-15 Ma.
- É assumido que a bacia subsiduiu durante o esfriamento (e engrossamento) da litosfera.

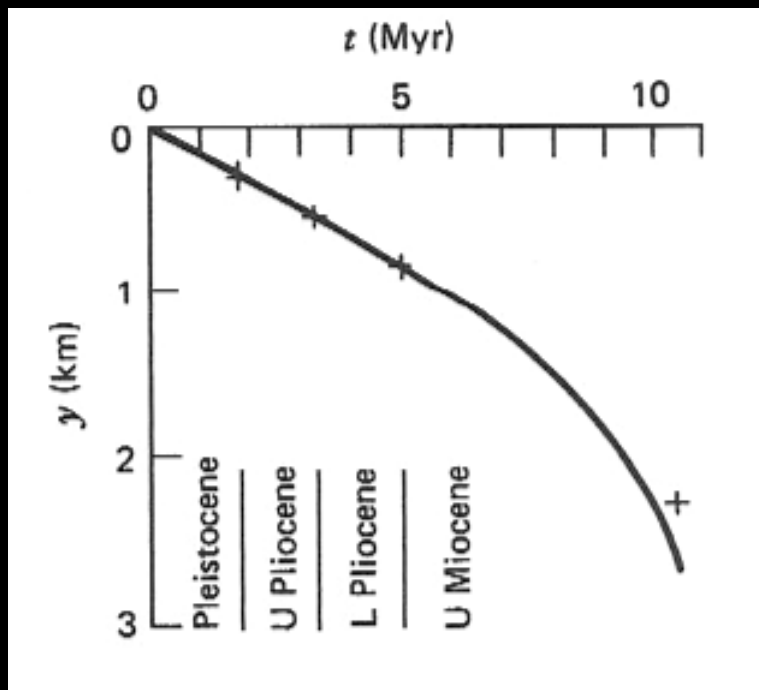
Santa Monica - Long Beach, CA

PH - Pleistocene, UPI - Upper Pliocene, LPI - Lower Pliocene, UPi - Upper Miocene, Mmi - Middle Miocene, Cr - Cretaceous



Wilmington Oil Fields

Aplicamos a previsão de profundidades às unidades estratigráficas anteriores:



- Profundidades medidas e previstas concordam.
- Gradiente térmico previsto ($k_m=3.3$ W/K/m, $k_s=2.0$ W/K/m) é de 59 K/m.
- Observado é 48-56 K/m

$$\rho_m=3,3 \text{ g/cm}^3, \rho_s=2,5 \text{ g/cm}^3, \\ \alpha_m=3 \cdot 10^{-5} \text{ K}^{-1}, T_1-T_0=1200 \text{ K}, \kappa=1 \text{ mm}^2/\text{s}$$

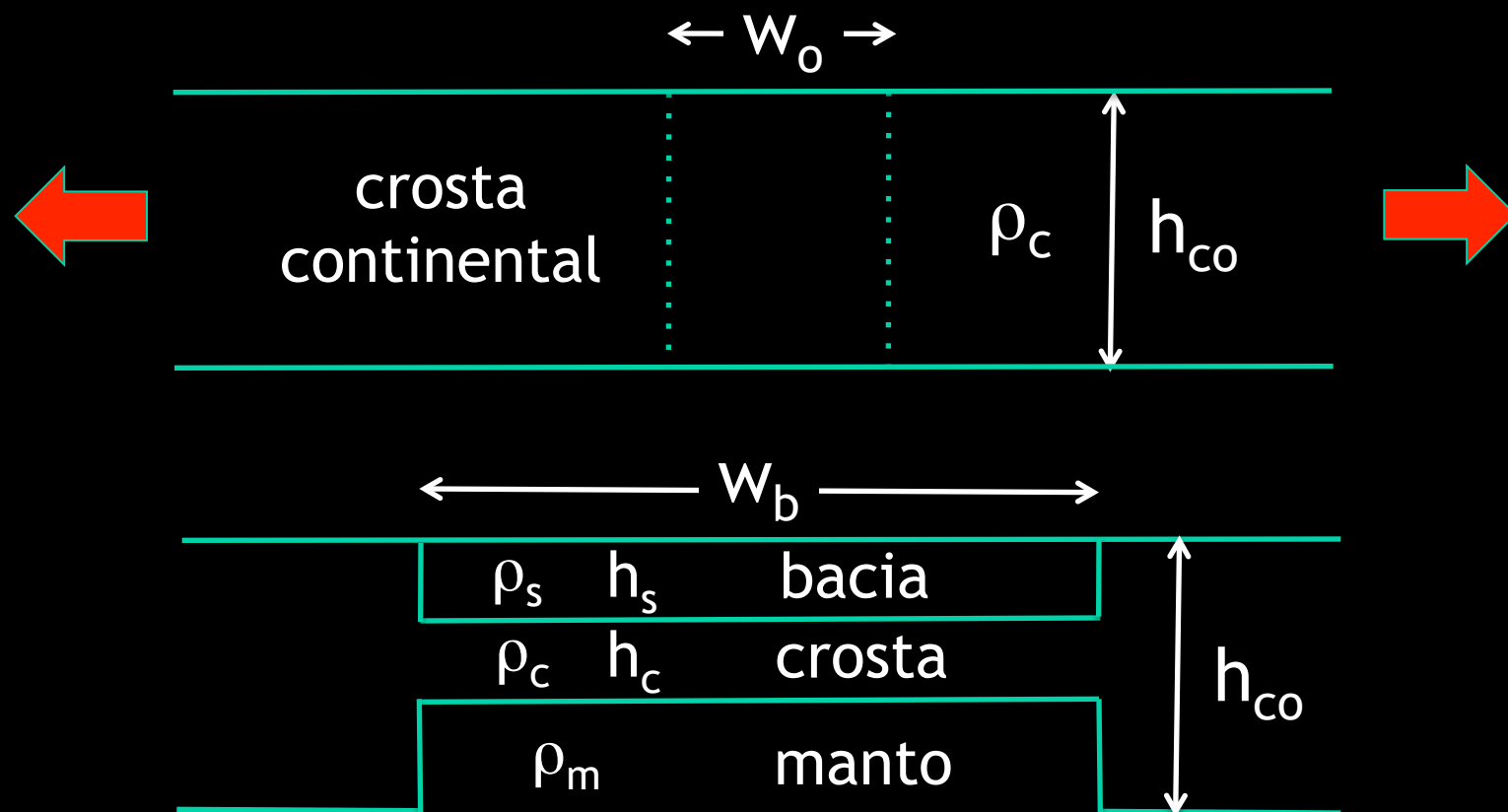
Subsidência termomecânica

Vamos ampliar o modelo de subsidência por extensão (mecânica) da crosta para incluir a litosfera toda:

- A litosfera continental é também esticada um fator α .
- A forma do perfil de temperatura na litosfera não muda, mas a sua espessura é reduzida um fator $1/\alpha$.

Formação de bacias sedimentares

Assumimos uma crosta continental que é afinada por forças tectônicas



Subsidência por extensão

As equações para resolver o problema são dadas por:

$$w_b h_c = w_o h_{co} \quad (\text{conservação volume})$$

$$\rho_c h_{co} = \rho_s h_s + \rho_c h_c + \rho_m (h_{co} - h_s - h_c)$$

Definindo o “fator de alongamento” (α) como w_b/w_o , obtemos

$$h_s = h_{co} \left(\frac{\rho_m - \rho_c}{\rho_m - \rho_s} \right) \left(1 - \frac{1}{\alpha} \right)$$

Efeitos térmicos

Assumimos que, antes do alongamento, o perfil de temperatura é dado por

$$(T_1 - T) / (T_1 - T_0) = \operatorname{erfc}(y / 2[\kappa t]^{1/2})$$

e a espessura da litosfera é dada por

$$y_{L0} = 2.32 (\kappa t)^{1/2}$$

O perfil de temperatura é assim expresso como

$$(T_1 - T) / (T_1 - T_0) = \operatorname{erfc}(1.16y / y_{L0})$$

Efeitos térmicos

Para litosfera extendida ($y_{L0} \rightarrow y_{Lb}$) temos que o perfil de temperatura é

$$(T_1 - T) / (T_1 - T_0) = \text{erfc}(1.16y / y_{Lb})$$

A conservação do volume da litosfera é (assumindo $\Delta t \ll \kappa / y_L^2$)

$$y_{Lb} = y_{L0} / \alpha.$$

Assim, o perfil de temperatura depois da extensão é

$$(T_1 - T) / (T_1 - T_0) = \text{erfc}(1.16y\alpha / y_{L0})$$

Princípio de isostasia

Aplicando o principio de isostasia

$$(\rho_c - \rho_m) h_{co} + \rho_m \alpha_v (T_1 - T_0) \int_0^{\infty} \text{erfc}(1.16y/y_{L0}) dy =$$
$$(\rho_s - \rho_m) h_{sb} + (\rho_c - \rho_m)(h_{co}/\alpha) + \rho_m \alpha_v (T_1 - T_0) \times$$
$$\int_0^{\infty} \text{erfc}(1.16\alpha y/y_{L0})$$

E, avaliando as integrais,

$$h_{sb} = \left[\frac{(\rho_m - \rho_c)}{(\rho_m - \rho_s)} h_{co} - \frac{\rho_m \alpha_v (T_1 - T_0) y_{L0}}{1.16 \sqrt{\pi} (\rho_m - \rho_s)} \right] (1 - 1/\alpha)$$

(para $\alpha \rightarrow \infty \Rightarrow h_{sb} = 10.1 \text{ km}$)

Efeitos térmicos (II)

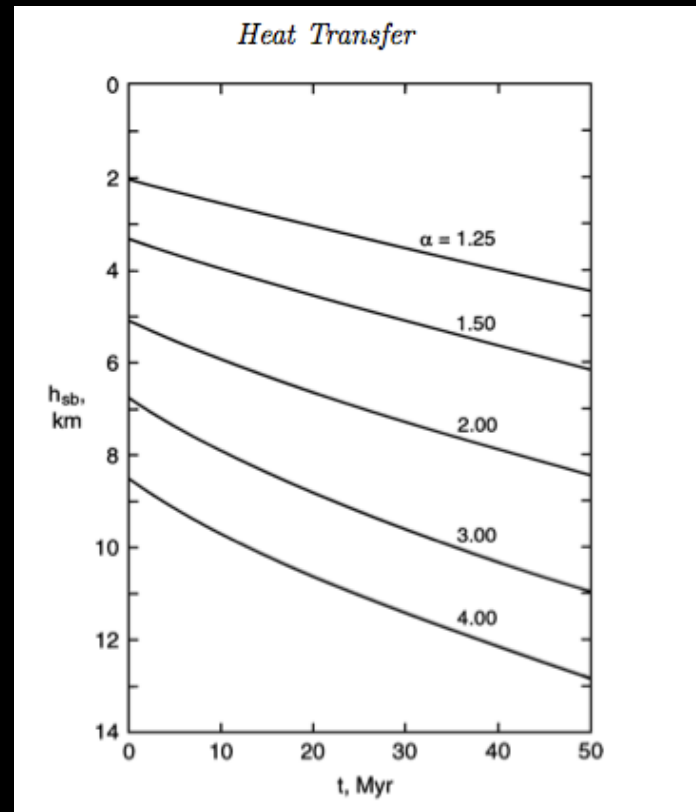
Assumimos que o afinamento era rápido quando comparado com o esfriamento da litosfera.

Em tempo, a litosfera vai engrossar por causa da perda de calor e induzirá subsidência de novo.

Nesse caso a espessura é dada por

$$h_s = \frac{(\rho_m - \rho_{cc})}{(\rho_m - \rho_s)} h_{co} (1 - 1/\alpha) - \frac{\rho_m \alpha (T_1 - T_0) y_{L0}}{1.16 \sqrt{\pi} (\rho_m - \rho_s)} \\ \times [1 - (1/\alpha^2 + 2.32^2 \kappa t / y_{L0}^2)^{1/2}]$$

Efeitos térmicos (II)



Quando a espessura da litosfera volta para o valor original (y_{L0}), o modelo de afinamento crustal é válido.